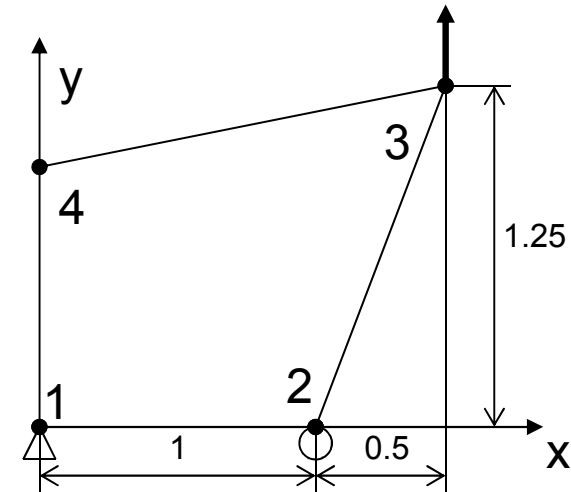


Integración

$$K_{\text{exacta}} = \begin{bmatrix} 0.47774 & 0.1047 & \dots \\ 0.1047 & 0.50257 & \dots \\ \vdots & \vdots & \ddots \end{bmatrix}$$

$$\Lambda_{\text{exacta}} = \begin{Bmatrix} 0 \\ 0 \\ 0 \\ 0.42312 \\ 0.60786 \\ 0.69738 \\ 0.82946 \\ 1.7308 \end{Bmatrix}$$

3 Autovalores son nulos ya que son movimientos rígidos.



Para un Q4, con 2 puntos de Gauss alcanza:

$$K = \iint \frac{B^T C B}{|J|} d\Omega$$

$$K_{\text{1 punto de Gauss}} = \begin{bmatrix} 0.27273 & 0.13636 & \dots \\ 0.13636 & 0.27273 & \dots \\ \vdots & \vdots & \ddots \end{bmatrix}$$

$$\Lambda_{\text{1 punto de Gauss}} = \begin{Bmatrix} 0 \\ 0 \\ 0 \\ 0 \\ 0.65177 \\ 0.79261 \\ 1.7261 \end{Bmatrix}$$

Sólo si el jacobiano es constante ya que, si es función, se vuelve una función irracional.

$$K_{\text{4 puntos de Gauss}} = \begin{bmatrix} 0.47628 & 0.1049 & \dots \\ 0.1049 & 0.50166 & \dots \\ \vdots & \vdots & \ddots \end{bmatrix}$$

$$\Lambda_{\text{4 puntos de Gauss}} = \begin{Bmatrix} 0 \\ 0 \\ 0 \\ 0.42098 \\ 0.60530 \\ 0.69676 \\ 0.82873 \\ 1.7308 \end{Bmatrix}$$

Si K tiene diagonal positiva y es simetrica, entonces es DIAGONALIZABLE.

$$[K] * \{d\} = \{R\}$$

$$[\phi]^T * [K] * [\phi] * [\phi]^T * \{d\} = [\phi]^T * \{R\}$$

$$[K]_{\text{diag}}$$

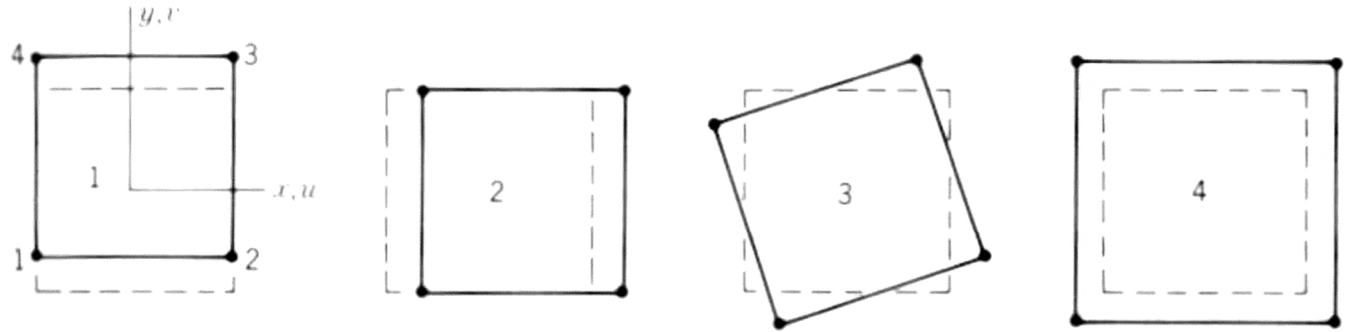
$$\{D\} \phi = \{R\} \phi$$

Como no tiene jacobiano constante, 4 puntos no son suficientes.

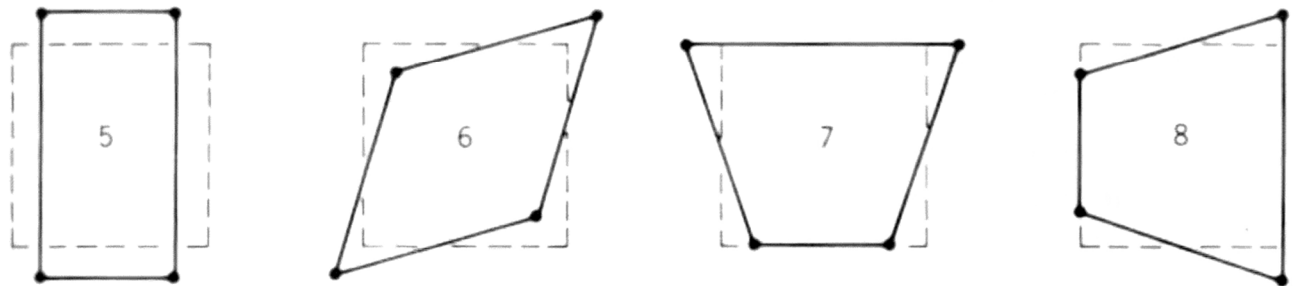
Inestabilidad

Autoformas

Movimientos rígidos, no generan ni deformaciones ni tensiones.



$$V^T K V = D$$



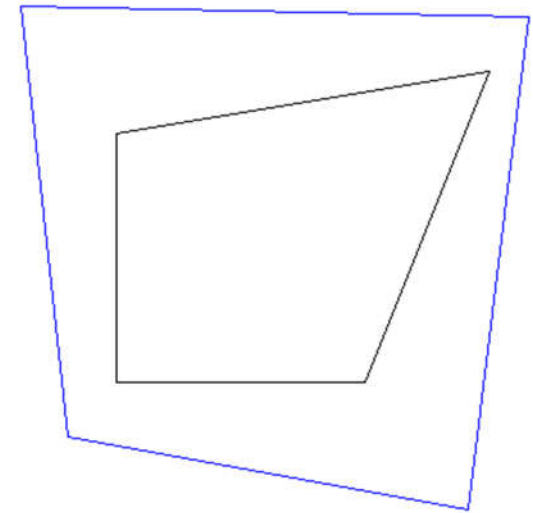
Ejemplo

$$D = \begin{Bmatrix} -0.19147 \\ -0.21972 \\ 0.41314 \\ -0.51368 \\ 0.15799 \\ 0.22101 \\ -0.37966 \\ 0.5124 \end{Bmatrix}$$

$$\begin{Bmatrix} \varepsilon_x \\ \varepsilon_y \\ \gamma_{xy} \end{Bmatrix} = B D$$

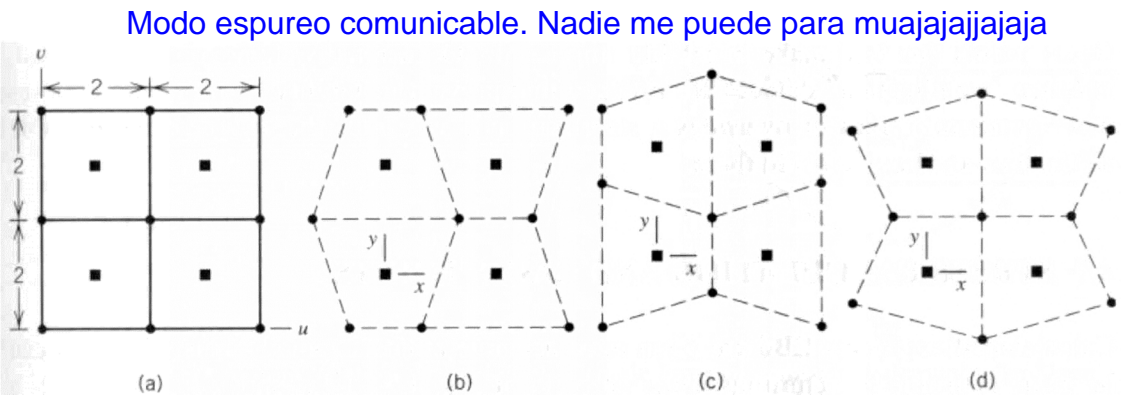
$$\varepsilon_{\text{volumétrica}} = \varepsilon_x + \varepsilon_y$$

$$\varepsilon_{\text{volumétrica}} = \frac{13.281 + 1.2028\xi + 1.3846\eta}{11 + \xi + 2\eta}$$

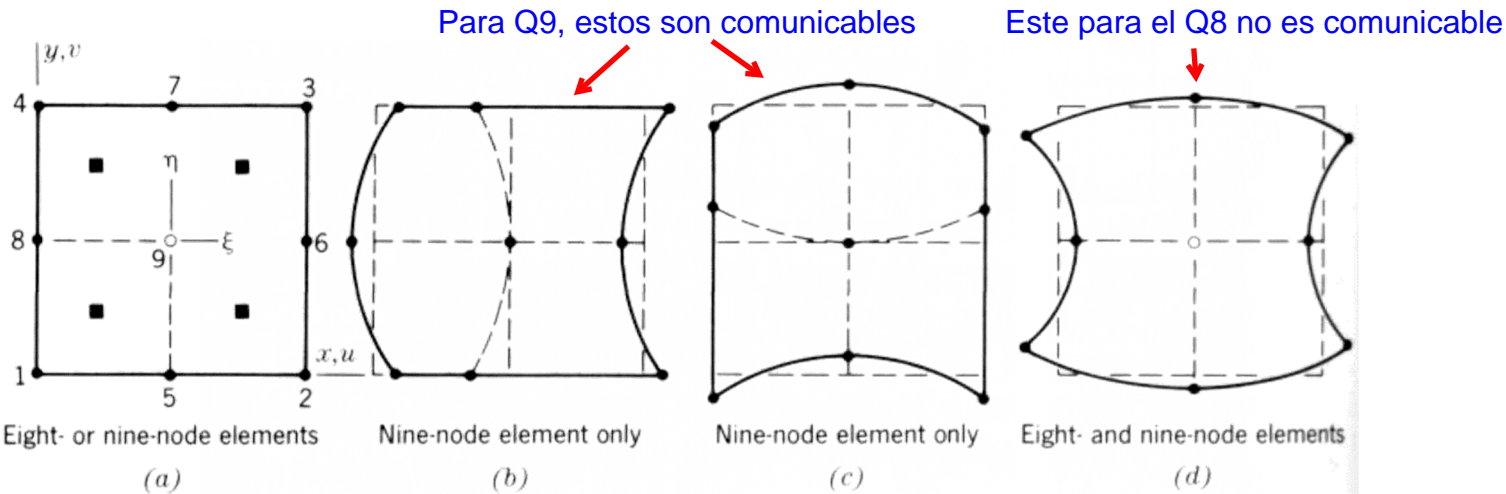


Inestabilidad

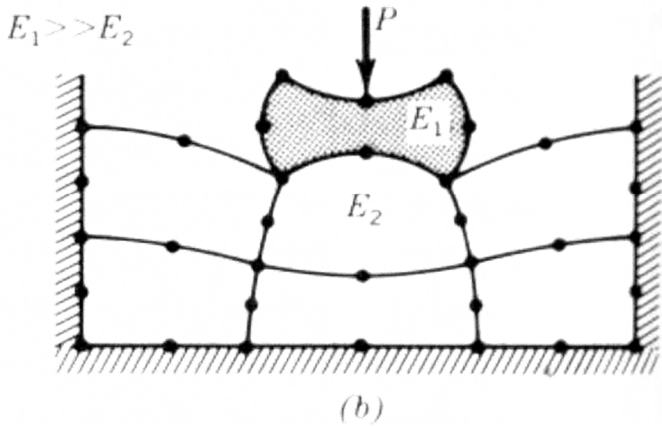
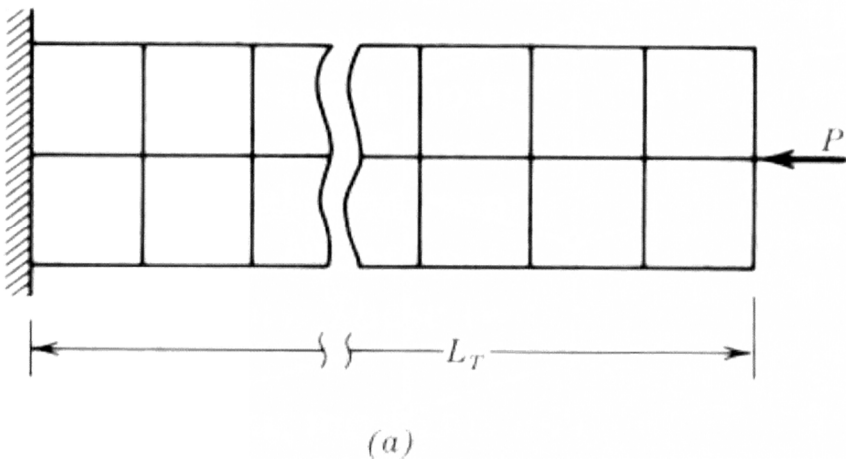
Modos Singulares



Hourglass

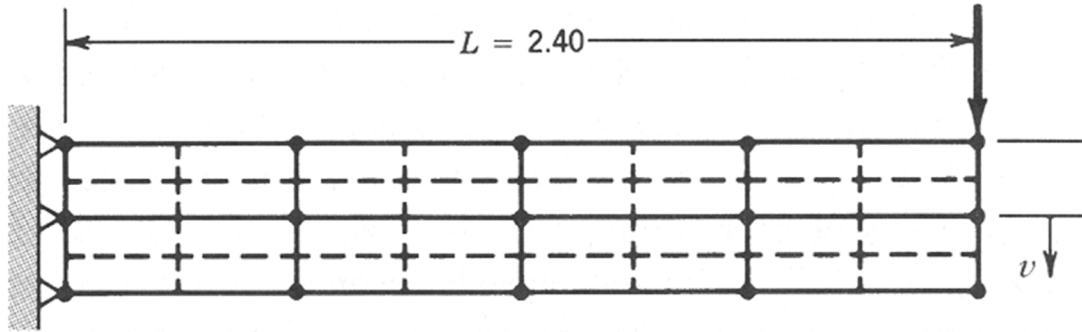


Estructuras y Materiales

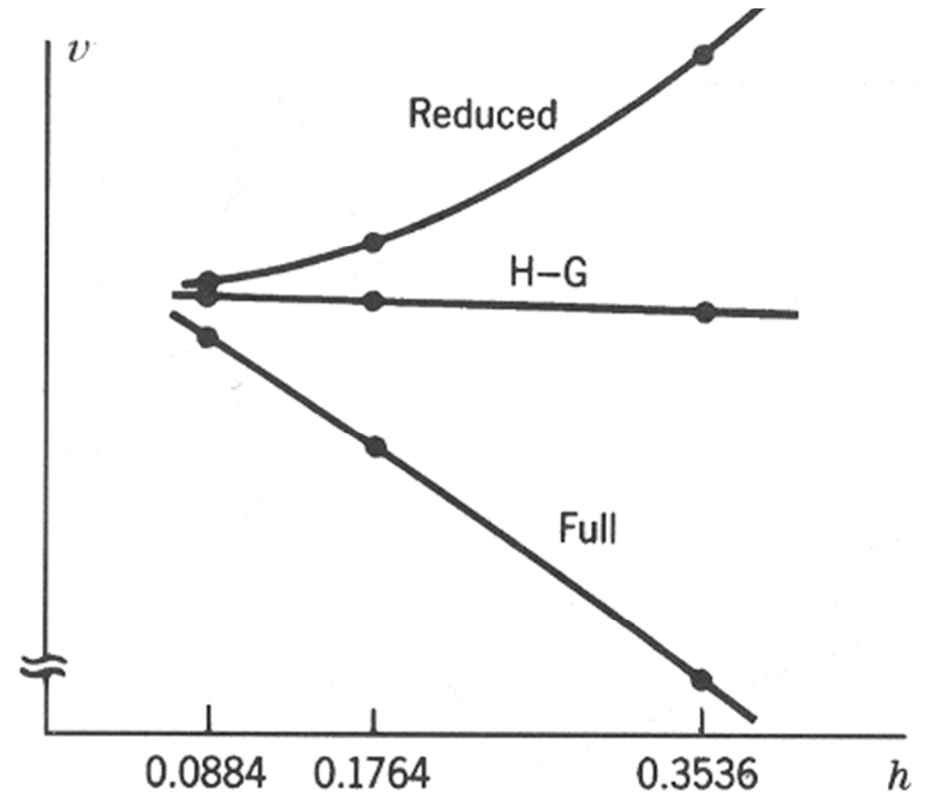


Convergencia

Siempre las soluciones de elementos finitos van a ser más rígidas ya que las funciones de deformación son impuestas y no son las reales que existen en la realidad.

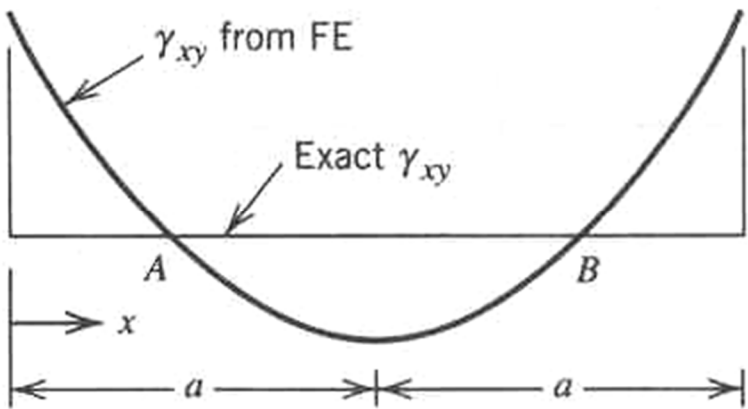
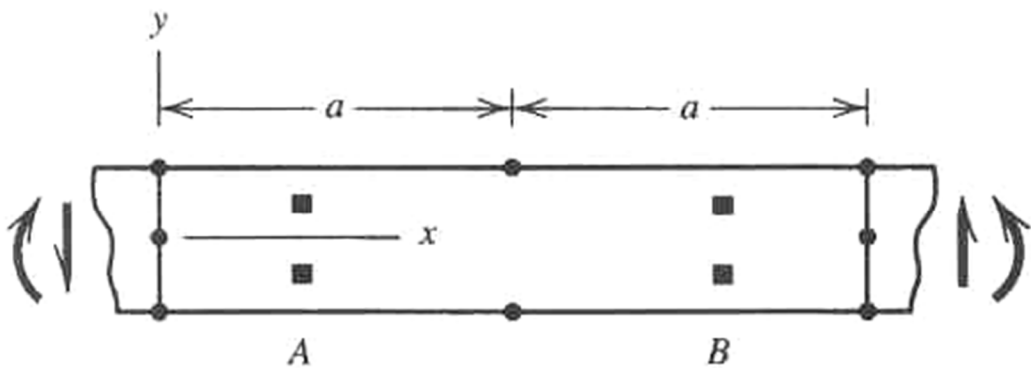


La integración full converge al reducir el tamaño del elemento h .
Aún así, la reducida converge más rápido siempre y cuando existan modos espúreos ya que flexibiliza la rigidez de imponer funciones. Siempre conviene subintegrada.
El hourglass converge aún más rápido ya que tiene un corrección: se le inventa una rigidez para evitar el modo espúreo.



Convergencia

Puntos de Gauss – Superconvergencia – Puntos de Barlow



k	Superconvergent points	Gauss points
1	0	0
2	$\pm\sqrt{3}/3 = \pm0.57735$	$\pm\sqrt{3}/3 = \pm0.57735$
3	$0, \pm\sqrt{5}/3 = \pm0.74535$	$0, \pm\sqrt{3/5} = \pm0.77459$
4	$\pm\frac{\sqrt{3\pm\sqrt{29/5}}}{2\sqrt{2}} = \pm0.27195, \pm0.82221$	$\pm\sqrt{\frac{3}{7}} \pm \frac{2\sqrt{6}}{7\sqrt{5}} = \pm0.33998, \pm0.861136$
5	$0, \pm\frac{\sqrt{35\pm8\sqrt{7}}}{5\sqrt{3}} = \pm0.42948, \pm0.86537$	$0, \pm\frac{\sqrt{5\pm2\sqrt{10/7}}}{3} = \pm0.53846, \pm0.90617$

Table 5 – Numerical values of superconvergent points and Gauss points.

Cálculo de Tensiones

Evaluación Directa de tensiones en nodos $\{\sigma(x, y)\} = [C][B(x, y)]\{D\}$

Extrapolación de Tensiones:

Cambio de coordenadas $\begin{cases} \xi\sqrt{3} = r \\ \eta\sqrt{3} = s \end{cases}$

$$\sigma_x(r, s) = \sum_i^{npg} \sigma_x(\xi_i, \eta_i) N_i^*(r, s) = \begin{bmatrix} \sigma_x(-a, -a) \\ \sigma_x(a, -a) \\ \sigma_x(a, a) \\ \sigma_x(-a, a) \end{bmatrix}^T \begin{bmatrix} N_1(r, s) \\ N_2(r, s) \\ N_3(r, s) \\ N_4(r, s) \end{bmatrix}$$

$$a = \frac{1}{\sqrt{3}}$$

